

## 三个基于3-(2,5-二羧基苯基)-吡啶羧酸的Cu(II)、Mn(II) 配合物的结构及磁性

王淑菊 蔺明明 熊刚 由立新\* 丁茯 孙亚光

(沈阳化工大学辽宁省无机分子基化学重点实验室, 沈阳 110142)

**摘要:** 通过水热法合成了3个新型配位聚合物:[Cu(Hdppa)(H<sub>2</sub>O)]<sub>n</sub>(1)、{[Cu<sub>2</sub>(dppa)(μ<sub>2</sub>-OH)(H<sub>2</sub>O)]·H<sub>2</sub>O}<sub>n</sub>(2)和{[Mn<sub>3</sub>(dppa)<sub>2</sub>(H<sub>2</sub>O)<sub>4</sub>]·2H<sub>2</sub>O}<sub>n</sub>(3), (H<sub>3</sub>dppa=3-(2,5-二羧基苯基)-吡啶羧酸), 并对其进行了元素分析、红外光谱、粉末X射线衍射和热重分析表征。X射线单晶衍射分析结果表明: 化合物1属于单斜晶系,  $P2_1/c$ 空间群,  $a=1.371(2)$  nm,  $b=0.805(11)$  nm,  $c=1.266(19)$  nm,  $\beta=112.74(3)^\circ$ ,  $Z=4$ ; 化合物2属于三斜晶系,  $P\bar{1}$ 空间群,  $a=0.839(4)$  nm,  $b=1.039(5)$  nm,  $c=1.110(5)$  nm,  $\alpha=98.31^\circ$ ,  $\beta=110.630(3)^\circ$ ,  $\gamma=111.90(3)^\circ$ ,  $Z=2$ ; 化合物3属于三斜晶系,  $P\bar{1}$ 空间群,  $a=0.881(6)$  nm,  $b=0.939(6)$  nm,  $c=1.038(7)$  nm,  $\alpha=100.29^\circ$ ,  $\beta=97.990(10)^\circ$ ,  $\gamma=111.13(7)^\circ$ ,  $Z=1$ 。化合物1以配体Hdppa<sup>2-</sup>桥联Cu(II)形成一维链状结构; 化合物2和3以配体dppa<sup>3-</sup>分别桥联Cu(II)和Mn(II)形成二维层状结构, 并进一步通过氢键形成三维超分子结构。变温磁化率研究表明在化合物1和化合物2中存在较强的铁磁耦合作用, 其磁交换常数分别为4.44和8.94 cm<sup>-1</sup>; 而化合物3中Mn(II)离子之间存在反铁磁相互作用。

**关键词:** 配位聚合物; 3-(2,5-二羧基苯基)-吡啶羧酸; 晶体结构; 磁性

中图分类号: O614.121; O614.7<sup>+</sup>11

文献标识码: A

文章编号: 1001-4861(2016)10-17830-08

DOI: 10.11862/CJIC.2016.222

## Three Coordination Polymers of Cu(II)/Mn(II) Based on 3-(2,5-Dicarboxylphenyl)picolinic Acid: Structure and Magnetism

WANG Shu-Ju LIN Ming-Ming XIONG Gang YOU Li-Xin\* DING Fu SUN Ya-Guang  
(Key Laboratory of Inorganic Molecule-Based Chemistry of Liaoning Province, Shenyang University of Chemical Technology, Shenyang 110142, China)

**Abstract:** Three coordination polymers [Cu(Hdppa)(H<sub>2</sub>O)]<sub>n</sub> (1), {[Cu<sub>2</sub>(dppa)(μ<sub>2</sub>-OH)(H<sub>2</sub>O)]·H<sub>2</sub>O}<sub>n</sub> (2) and {[Mn<sub>3</sub>(dppa)<sub>2</sub>(H<sub>2</sub>O)<sub>4</sub>]·2H<sub>2</sub>O}<sub>n</sub> (3) (H<sub>3</sub>dppa=3-(2,5-dicarboxylphenyl) picolinic acid) have been synthesized by hydrothermal method and characterized by elemental analysis, IR spectra, PXRD and TGA. The single-crystal X-ray diffraction analysis showed that compound 1 crystallized in monoclinic system,  $P2_1/c$  space group,  $a=1.371(2)$  nm,  $b=0.805(11)$  nm,  $c=1.266(19)$  nm,  $\beta=112.74(3)^\circ$ ,  $Z=4$ . Compound 2 crystallized in triclinic system,  $P\bar{1}$  space group,  $a=0.839(4)$  nm,  $b=1.039(5)$  nm,  $c=1.110(5)$  nm,  $\alpha=98.31^\circ$ ,  $\beta=110.63(3)^\circ$ ,  $\gamma=111.90(3)^\circ$ ,  $Z=2$ . Compound 2 crystallized in triclinic system,  $P\bar{1}$  space group,  $a=0.881(6)$  nm,  $b=0.939(6)$  nm,  $c=1.038(7)$  nm,  $\alpha=100.29^\circ$ ,  $\beta=97.99(10)^\circ$ ,  $\gamma=111.13(7)^\circ$ ,  $Z=1$ . For 1, Cu(II) were bridged by Hdppa<sup>2-</sup> ligands to form a 1D chain structure. For 2 and 3, Cu(II) and Mn(II) were respectively linked by dppa<sup>3-</sup> ligands to form 2D layers and further extend to a 3D supramolecular structure through the hydrogen bonding interaction. Magentic susceptibility measurement indicated there were strong ferromagnetic interactions in 1 and 2, and their magnetic exchange constant was 4.44 and 8.94 cm<sup>-1</sup> respectively. There was antiferromagnetic interaction between the neighboring Mn(II) ions in 3. CCDC: 1442371, 1; 1442366, 2; 1442367, 3.

**Keywords:** coordination polymers; 3-(2, 5-dicarboxylphenyl) picolinic acid; crystal structure; magnetism

收稿日期: 2016-05-09。收修改稿日期: 2016-08-11。

国家自然科学基金(No.21201123)、辽宁省博士启动基金(No.201501075)、辽宁省高等学校杰出青年学者成长计划(No.LJQ2014043)和辽宁特聘教授项目(No.2013204)资助。

\*通信联系人。E-mail: youlx@syt.edu.cn

## 0 引言

配位聚合物的设计与合成是近些年配位化学领域研究的热点之一,不仅因为它们多样的结构,还因为它们具有高比表面积、高孔隙率、高化学稳定性和热稳定性,使其在光、磁、催化以及吸附等领域显示出诱人的应用前景<sup>[1-6]</sup>。作为一种新型的功能材料,构成配位聚合物的金属和有机配体均可灵活选择。氮杂环羧酸类配体由于具有多个配位点和良好的配位能力,常被用来构筑新型的配合物,已经引起了研究人员的广泛关注<sup>[7-10]</sup>。

吡啶羧酸类物质(如3-(2,4-二羧基苯基)-2,6-吡啶二羧酸和3-(4-羧基苯基)-2,6-吡啶二羧酸)作为配体构筑的系列配位聚合物已先后被报道<sup>[11-13]</sup>。而3-(2,5-二羧基苯基)-吡啶羧酸(H<sub>3</sub>dppa)作为吡啶羧酸类衍生物,含有吡啶环和3个羧基,具有丰富的配位点和多种配位方式,容易构筑新颖结构的化合物;同时,芳环上的羧基能够参与形成氢键,易于构筑高维配位聚合物<sup>[14-16]</sup>。

分子磁性材料的研究一直是化学、物理、材料和信息等多学科领域热门的研究课题之一。配位聚合物结构稳定并易于合成,使其在分子磁学和分子磁体设计领域中具有重要地位<sup>[17-18]</sup>。本文以H<sub>3</sub>dppa为配体,与硝酸铜在不同溶剂体系中作用得到2种新型配位聚合物[Cu(Hdppa)(H<sub>2</sub>O)]<sub>n</sub>(1)和{[Cu<sub>2</sub>(dppa)(μ<sub>2</sub>-OH)(H<sub>2</sub>O)]·H<sub>2</sub>O}<sub>n</sub>(2);与氯化锰作用得到配位聚合物{[Mn<sub>3</sub>(dppa)<sub>2</sub>(H<sub>2</sub>O)<sub>4</sub>]·2H<sub>2</sub>O}<sub>n</sub>(3),并进一步研究3个化合物的结构和磁性。

## 1 实验部分

### 1.1 试剂与仪器

所用试剂均为分析纯试剂,未经进一步纯化处理。元素分析使用Perkin-Elemer 470型元素分析仪;红外光谱测定使用Nicolet IR-6700型红外光谱仪;粉末X射线衍射使用BRUKER D8 ADVANCE粉晶衍射仪,Cu Kα射线( $\lambda=0.154\text{ }184\text{ nm}$ ),管电压40 kV,管电流40 mA,扫描范围 $2\theta$ 为 $5^\circ\sim55^\circ$ ;热重分析使用NETZSCH TG 209热重分析仪;金属配合物的变温磁化率测定使用Quantum Design MPMS-7 SQUID型磁量计,所有数据均经Pascals常数进行反磁校正;晶体结构测定使用Rigaku Pilatus 200K型X射线衍射仪和Bruker SMART 1000 CCD面探衍射仪。

### 1.2 化合物1~3的合成

[Cu(Hdppa)(H<sub>2</sub>O)]<sub>n</sub>(1)的合成及元素分析:取H<sub>3</sub>dppa 0.028 7 g (0.1 mmol), Cu(NO<sub>3</sub>)<sub>2</sub>·3H<sub>2</sub>O 0.024 2 g (0.1 mmol), 9 mL蒸馏水和1 mL NaOH (0.1 mol·L<sup>-1</sup>)水溶液,搅拌10 min后置于密封25 mL聚四氟乙烯反应釜中,在150 ℃下反应72 h,然后冷却到室温,得到蓝色晶体。基于Cu(NO<sub>3</sub>)<sub>2</sub>·3H<sub>2</sub>O计算的产率为:56.4%。元素分析(C<sub>14</sub>H<sub>9</sub>CuNO<sub>7</sub>)理论值(%):C 45.85; H 2.47; N 3.82。实验值(%):C 45.36; H 2.12; N 3.18。

{[Cu<sub>2</sub>(dppa)(μ<sub>2</sub>-OH)(H<sub>2</sub>O)]·H<sub>2</sub>O}<sub>n</sub>(2)的合成及元素分析:除了将1 mL NaOH(0.1 mol·L<sup>-1</sup>)水溶液换成1 mL DMF,其余步骤与1相同,得到深蓝色晶体。基于Cu(NO<sub>3</sub>)<sub>2</sub>·3H<sub>2</sub>O计算的产率为:61.8%。元素分析(C<sub>14</sub>H<sub>10</sub>Cu<sub>2</sub>NO<sub>9</sub>)理论值(%):C 36.29; H 2.18; N 3.02。实验值(%):C 36.19; H 2.03; N 2.99。

{[Mn<sub>3</sub>(dppa)<sub>2</sub>(H<sub>2</sub>O)<sub>4</sub>]·2H<sub>2</sub>O}<sub>n</sub>(3)的合成及元素分析:取H<sub>3</sub>dppa 0.057 6 g (0.2 mmol), MnCl<sub>2</sub>·4H<sub>2</sub>O 0.059 4 g (0.3 mmol), 9 mL蒸馏水和0.5 mL DMF,搅拌10 min后置于密封25 mL聚四氟乙烯反应釜中,在120 ℃下反应48 h,然后在48 h内程序冷却到室温,得到无色透明晶体。基于MnCl<sub>2</sub>·4H<sub>2</sub>O计算的产率为:46.6%。元素分析(C<sub>28</sub>H<sub>24</sub>Mn<sub>3</sub>N<sub>2</sub>O<sub>18</sub>)理论值(%):C 39.97; H 2.88; N 3.33。实验值(%):C 39.88; H 2.65; N 3.12。

### 1.3 晶体结构测定

化合物1的晶体结构在113 K下使用Rigaku Pilatus 200K型X射线衍射仪进行测定;化合物2和3的晶体结构在293 K下使用Bruker SMART 1000型X射线衍射仪进行测定,均采用石墨单色器单色化Mo Kα射线( $\lambda=0.071\text{ }703\text{ nm}$ )作辐射源,以 $\varphi$ - $\omega$ 扫描方式收集衍射点。晶体结构使用Olex2程序由直接法解出<sup>[19]</sup>;用Olex2程序对非氢原子坐标及其各向异性热参数基于 $F^2$ 进行全矩阵最小化精修;氢原子为理论加氢。在化合物2中,由于配位水分子具有较大热振动参数,因此将其分裂为2个原子O<sub>8</sub>和O<sub>8'</sub>,其占有率为由软件自动分配。在化合物3中,游离水分子同样具有较大的热振动参数,因此将其分裂为2个原子O<sub>9a</sub>和O<sub>9b</sub>,其占有率为由软件自动分配,难以找到合适的氢原子位置。化合物1~3的晶体学数据在表1列出,部分键长和键角列于表2。

CCDC: 1442371, 1; 1442366, 2; 1442367, 3。

表1 化合物1~3的晶体学数据表  
Table 1 Crystal data and structure refinement of 1~3

|   | 1   | 2   | 3  |
|---|---|---|--|
| Empirical formula                                   | C <sub>14</sub> H <sub>9</sub> CuNO <sub>7</sub>  | C <sub>14</sub> H <sub>11</sub> Cu <sub>2</sub> NO <sub>9</sub> | C <sub>28</sub> H <sub>24</sub> Mn <sub>3</sub> N <sub>2</sub> O <sub>18</sub> |
| Formula weight                                      | 366.76  | 481.33  | 841.31   |
| Temperature/K                                       | 113   | 293   | 293  |
| Crystal system                                      | Monoclinic  | Triclinic   | Triclinic  |
| Space group   | P <sub>2</sub> /c                                 | P <sub>1</sub>  | P <sub>1</sub>   |
| a / nm  | 1.371(2)  | 0.839(4)  | 0.881(6)   |
| b / nm  | 0.805(11)   | 1.039(5)  | 0.939(6)   |
| c / nm  | 1.266(19)   | 1.110(5)  | 1.038(7)   |
| α / (°)   | 90.00   | 98.31   | 100.29   |
| β / (°)   | 112.74(3)   | 110.63(3)   | 97.99(10)  |
| γ / (°)   | 90.00   | 111.90(3)   | 111.13(7)  |
| Z   | 4   | 2   | 1  |
| μ / mm <sup>-1</sup>                                | 1.735   | 2.721   | 1.305  |
| F(000)  | 740   | 464   | 425  |
| Goodness-of-fit on F <sup>2</sup>                   | 1.096   | 0.994   | 1.019  |
| Final R indexes [I ≥ 2σ(I)]                         | R <sub>i</sub> =0.019 2, wR <sub>2</sub> =0.055 4 | R <sub>i</sub> =0.046 5, wR <sub>2</sub> =0.122 7               | R <sub>i</sub> =0.037 0, wR <sub>2</sub> =0.100 7                              |
| Final R indexes (all data)                          | R <sub>i</sub> =0.020 1, wR <sub>2</sub> =0.055 9 | R <sub>i</sub> =0.053 3, wR <sub>2</sub> =0.127 3               | R <sub>i</sub> =0.040 5, wR <sub>2</sub> =0.103 5                              |
| Largest diff. peak and hole / (e·nm <sup>-3</sup> ) | 420 and -370                                      | 1 300 and -760  | 1 250 and -710   |

表2 化合物1~3结构中部分键长键角  
Table 2 Selected bond lengths(nm)and angles(°)for 1~3

| 1                |            |                   |            |                   |            |
|------------------|------------|-------------------|------------|-------------------|------------|
| Cu(1)-O(3)       | 0.198(10)  | Cu(1)-O(2)        | 0.201(10)  | Cu(1)-N(1)        | 0.198(11)  |
| Cu(1)-O(5)       | 0.214(11)  |                   |            |                   |            |
| N(1)-Cu(1)-O(2)  | 91.92(4)   | O(3)-Cu(1)-O(2)   | 135.67(4)  | O(1)A-Cu(1)-O(2)  | 87.95(4)   |
| O(2)-Cu(1)-O(5)  | 98.45(4)   | O(3)-Cu(1)-O(5)   | 125.87(4)  | O(1)A-Cu(1)-N(1)  | 167.94(4)  |
| N(1)-Cu(1)-O(3)  | 83.00(4)   | O(1)A-Cu(1)-O(3)  | 88.67(4)   | O(1)A-Cu(1)-O(5)  | 93.59(4)   |
| N(1)-Cu(1)-O(5)  | 98.35(4)   |                   |            |                   |            |
| 2                |            |                   |            |                   |            |
| Cu(1)-O(6)       | 0.208(3)   | Cu(1)-O(2)        | 0.204(3)   | Cu(2)-O(4)C       | 0.196(3)   |
| Cu(1)-O(7)       | 0.189 (3)  | Cu(1)-O(3)A       | 0.206(3)   | Cu(2)-O(1)        | 0.197(3)   |
| Cu(1)-N(1)       | 0.197(3)   | Cu(2)-O(7)B       | 0.191(3)   | Cu(2)-O(8')       | 0.198(6)   |
| Cu(2)-O(8)       | 0.197(6)   |                   |            |                   |            |
| O(7)-Cu(1)-O(6)  | 94.06(11)  | N(1)-Cu(1)-O(3)A  | 92.94(11)  | O(7)B-Cu(2)-O(8') | 174.63(16) |
| O(7)-Cu(1)-N(1)  | 173.32(12) | O(2)-Cu(1)-O(6)   | 129.81(12) | O(7)B-Cu(2)-O(8)  | 159.90(17) |
| O(7)-Cu(1)-O(2)  | 89.13(11)  | O(2)-Cu(1)-O(3)A  | 121.62(12) | O(4)C-Cu(2)-O(1)  | 174.34(12) |
| O(7)-Cu(1)-O(3)A | 93.19(11)  | O(3)A-Cu(1)-O(6)  | 108.21(12) | O(4)C-Cu(2)-O(8') | 86.67(19)  |
| N(1)-Cu(1)-O(6)  | 81.50(11)  | O(7)B-Cu(2)-O(4)C | 97.25(12)  | O(4)C-Cu(2)-O(8)  | 81.51(19)  |
| N(1)-Cu(1)-O(2)  | 89.92(12)  | O(7)B-Cu(2)-O(1)  | 88.22(12)  | O(1)-Cu(2)-O(8')  | 87.96(19)  |
| O(8)-Cu(2)-O(1)  | 92.85(19)  | O(8)-Cu(2)-O(8')  | 24.35(19)  |                   |            |

Continued Table 2

| 3                 |           |                   |            |                   |           |
|-------------------|-----------|-------------------|------------|-------------------|-----------|
| Mn(1)-O(1)A       | 0.212(19) | Mn(1)-O(3)C       | 0.221(18)  | Mn(1)-O(7)D       | 0.219(2)  |
| Mn(1)-O(7)E       | 0.219(2)  | Mn(2)-O(2)        | 0.207 (17) | Mn(2)-N(1)E       | 0.232(18) |
| Mn(2)-O(4)B       | 0.217(18) | Mn(2)-O(6)E       | 0.218(19)  | Mn(2)-O(8)E       | 0.227(2)  |
| O(1)A-Mn(1)-O(1)  | 180.00(1) | O(8)E-Mn(2)-N(1)E | 100.24(7)  | O(4)B-Mn(2)-N(1)E | 146.41(5) |
| O(1)-Mn(1)-O(3)B  | 90.36(7)  | O(6)E-Mn(2)-O(8)E | 171.24(6)  | O(4)E-Mn(2)-N(1)E | 70.95(6)  |
| O(1)A-Mn(1)-O(7)D | 89.03(6)  | O(6)E-Mn(2)-O(4)E | 97.37(7)   | O(2)-Mn(2)-O(8)E  | 82.89(7)  |
| O(3)C-Mn(1)-O(3)B | 180.00(1) | O(6)E-Mn(2)-N(1)E | 82.66(6)   | O(2)-Mn(2)-O(6)E  | 104.49(6) |
| O(7)E-Mn(1)-O(3)B | 89.66(7)  | O(4)B-Mn(2)-O(8)E | 85.30(7)   | O(2)-Mn(2)-N(1)E  | 104.57(7) |

Symmetry codes: A:  $2-x, 0.5+y, 0.5-z$  for **1**; A:  $-x, 2-y, -z$ ; B:  $-x, 2-y, 1-z$ ; C:  $x, y, 1+z$  for **2**; A:  $2-x, 3-y, 3-z$ ; B:  $1+x, 1+y, 1+z$ ; C:  $1-x, 2-y, 2-z$ ; D:  $x, y, 1+z$ ; E:  $2-x, 3-y, 2-z$  for **3**

## 2 结果与讨论

### 2.1 配位聚合物的表征

红外光谱分析表明, 化合物**1**在  $3\ 489\text{ cm}^{-1}$  处的强宽峰为水的 O-H 伸缩振动吸收峰,  $1\ 715\text{ cm}^{-1}$  处为羧基中 C=O 振动吸收峰,  $1\ 581$  和  $1\ 549\text{ cm}^{-1}$  处为芳环碳骨架的振动吸收峰, 见图 S1。化合物**2** 在  $3\ 568\text{ cm}^{-1}$  处为羧基的 O-H 伸缩振动吸收峰,  $1\ 637\text{ cm}^{-1}$  处为羧基中 C=O 振动吸收峰,  $1\ 577\text{ cm}^{-1}$  为芳环碳骨架的振动吸收峰, 见图 S2。化合物**3** 在  $3\ 392\text{ cm}^{-1}$  处的强宽峰为水的 O-H 伸缩振动吸收峰,  $1\ 641\text{ cm}^{-1}$  处为羧基中 C=O 振动吸收峰,  $1\ 600$  和  $1\ 572\text{ cm}^{-1}$  处为芳环碳骨架的振动吸收峰, 见图 S3。

化合物**1~3**的粉末 X 射线衍射图谱与单晶结构模拟图谱基本吻合, 见图 S4~6, 表明本实验得到的 3 个化合物样品均为纯相。

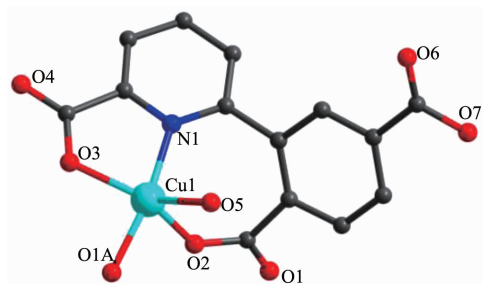
热重分析(TGA)是在氮气保护下, 以  $10\text{ }^{\circ}\text{C}\cdot\text{min}^{-1}$  的升温速率,  $25\sim1\ 000\text{ }^{\circ}\text{C}$  范围内, 在 NETZSCH TG

209 热重分析仪上测定的, 见图 S7。化合物**1**在  $30\sim260\text{ }^{\circ}\text{C}$  范围内失重率为  $4.51\%$ , 与每分子单元失去 1 个配位水的理论值  $4.91\%$  相对应, 当温度高于  $260\text{ }^{\circ}\text{C}$  时化合物开始分解。化合物**2** 在  $30\sim270\text{ }^{\circ}\text{C}$  失重率为  $11.36\%$ , 为 1 个游离水和 2 个配位水 (理论值  $11.57\%$ ), 当温度高于  $270\text{ }^{\circ}\text{C}$  时化合物开始分解。化合物**3** 在  $30\sim145\text{ }^{\circ}\text{C}$  范围内失重  $4.12\%$ , 为 2 个游离水 (理论值  $4.34\%$ ), 继续升高温度到  $270\text{ }^{\circ}\text{C}$  时失重  $12.39\%$ , 为 4 个配位水 (理论值  $13.03\%$ ), 当温度升高到  $450\text{ }^{\circ}\text{C}$ , 化合物分解。

### 2.2 配位聚合物晶体结构

#### 2.2.1 $[\text{Cu}(\text{Hdppa})(\text{H}_2\text{O})]_n$ (**1**) 晶体结构描述

X 射线单晶衍射分析表明化合物**1**结晶在  $P2_1/c$  空间群, 属于单斜晶系。化合物**1**的不对称单元包含 1 个 Cu(II) 离子, 1 个 Hdppa<sup>2-</sup> 配体和 1 个配位  $\text{H}_2\text{O}$  分子。Cu1 采用五配位模式, 与其配位的原子来自 1 个 Hdppa<sup>2-</sup> 配体中的 2 个羧基氧原子和吡啶环上的氮原子(O2、O3、N1)和另一个配体中的氧原子(O1A), 以及配位水中的氧原子(O5), 如图 1 所示。



Symmetry codes: A:  $2-x, 0.5+y, 0.5-z$

图 1 化合物**1** 中 Cu(II) 的配位环境

Fig.1 Coordination environment of the Cu(II) in compound **1**

其中,O<sub>2</sub>、O<sub>3</sub>和O<sub>5</sub>占据赤道平面的配位点,O<sub>1A</sub>和N<sub>1</sub>占据轴向上的配位点,形成一个略微变形的三角双锥结构,Cu-O键长范围为0.190~0.220 nm,Cu1-

N<sub>1</sub>键长为0.198(15) nm,部分键长和键角见表2。每个Hdppa<sup>2-</sup>桥联2个Cu(II)离子沿b轴方向无限延伸,形成一维链状结构,如图2所示。

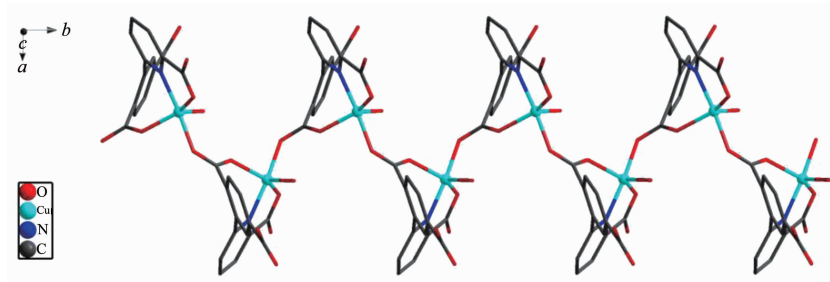


图2 化合物1的一维链状结构

Fig.2 1D chain structure of the compound 1

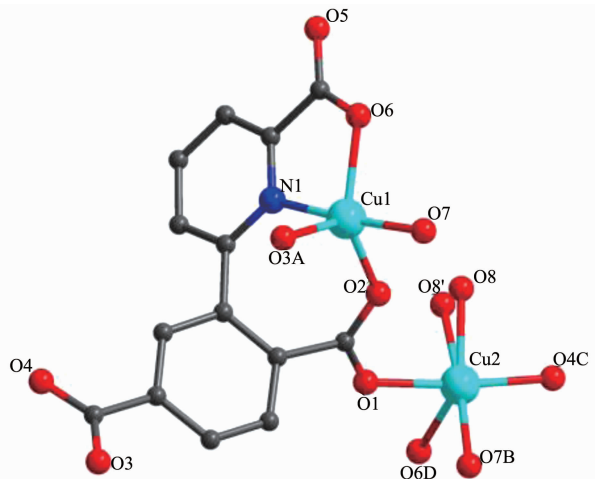
### 2.2.2 $\{[\text{Cu}_2(\text{dppa})(\mu_2\text{-OH})(\text{H}_2\text{O})] \cdot \text{H}_2\text{O}\}_n$ (2)晶体结构描述

X射线单晶衍射分析表明化合物1结晶在P $\bar{1}$ 空间群,属于三斜晶系,Cu(II)配位环境如图3所示。化合物2的不对称单元包含2个Cu(II)离子,1个dppa<sup>3-</sup>配体,1个OH<sup>-</sup>,1个配位H<sub>2</sub>O分子和1个游离H<sub>2</sub>O分子。Cu1采用三角双锥结构的五配位模式,占据赤道平面配位点的O<sub>2</sub>、O<sub>3A</sub>和O<sub>6</sub>来自dppa<sup>3-</sup>配体中的羧基;占据轴向配位点的N<sub>1</sub>来自dppa<sup>3-</sup>配体的吡啶环,O<sub>7</sub>来自配位水。Cu2也采用五配位模式,分别来自dppa<sup>3-</sup>配体中的羧基氧原子(O<sub>1</sub>、O<sub>4C</sub>和O<sub>6D</sub>),以及配位水的氧原子(O<sub>7B</sub>和O<sub>8/O8'</sub>),其中O<sub>1</sub>、O<sub>4C</sub>、O<sub>7B</sub>和O<sub>8</sub>占据赤道平面的配位点,O<sub>6D</sub>则占据轴向上的配位点,形成变形的四棱锥结构,Cu-O的键长范围为0.180~0.210 nm,Cu1-N<sub>1</sub>键长为0.197(3) nm,部分键长和键角见表2。dppa<sup>3-</sup>配体桥联

Cu1和Cu2沿a轴方向延伸形成一维链状结构,如图4a所示。配体中苯环上2-COO<sup>-</sup>的O<sub>1</sub>和O<sub>2</sub>以双齿顺-反(syn-anti)桥联方式连接相邻的2条一维链,形成二维层状结构(图4b)。二维层状结构通过羧基的氢键(O<sub>8</sub>-H<sub>8</sub>···O<sub>5</sub>)作用形成三维超分子结构(图4c)。

### 2.2.3 $\{[\text{Mn}_3(\text{dppa})_2(\text{H}_2\text{O})] \cdot 2\text{H}_2\text{O}\}_n$ (3)晶体结构描述

X射线单晶衍射分析表明化合物3结晶在P $\bar{1}$ 空间群,属于三斜晶系,Mn(II)配位环境如图5所示。化合物3的不对称单元包含1.5个Mn(II)离子,1个dppa<sup>3-</sup>配体,2个配位H<sub>2</sub>O分子和1个游离H<sub>2</sub>O分子。Mn1采用六配位模式,与其配位的原子来自dppa<sup>3-</sup>配体中羧基上的氧原子(O<sub>1</sub>、O<sub>1A</sub>、O<sub>3B</sub>和O<sub>3C</sub>)和配位水上的氧原子(O<sub>7D</sub>和O<sub>7E</sub>)。其中O<sub>1</sub>、O<sub>1A</sub>、O<sub>7D</sub>和O<sub>7E</sub>占据赤道平面的配位点,O<sub>3B</sub>和O<sub>3C</sub>则占据轴向上的配位点,形成畸变的八面体。



Symmetry codes: A: -x, 2-y, -z; B: -x, 2-y, 1-z; C: x, y, 1+z; D: -1+x, y, z

图3 化合物2中Cu(II)的配位环境

Fig.3 Coordination environment of the Cu(II) in compound 2

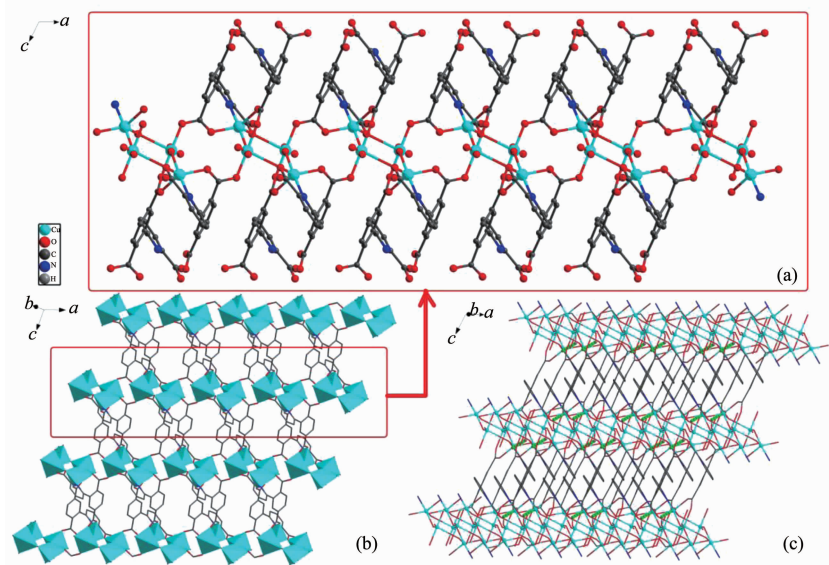
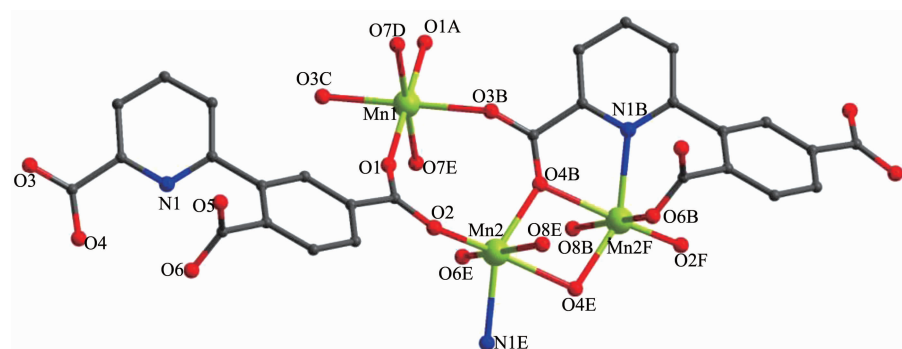


图4 化合物2的一维(a)、二维(b)和三维(c)结构  
Fig.4 Views of 1D(a), 2D(b) and 3D(c) structure of the compound 2



Symmetry codes: A:  $2-x, 3-y, 3-z$ ; B:  $1+x, 1+y, 1+z$ ; C:  $1-x, 2-y, 2-z$ ; D:  $x, y, 1+z$ ; E:  $2-x, 3-y, 2-z$ ; F:  $3-x, 4-y, 3-z$   
图5 化合物3中Mn(II)的配位环境  
Fig.5 Coordination environment of the Mn(II) in compound 3

Mn2也采用八面体的六配位模式,占据赤道平面配位点的O2、O4E和O6E来自dppa<sup>3-</sup>配体中的羧基,O8E来自配位水;占据轴向上配位点的O4B来自dppa<sup>3-</sup>配体中羧基,N1E来自dppa<sup>3-</sup>配体的吡啶环,Mn-O键长范围为0.200~0.230 nm,Mn2-N1E键长为0.232(18) nm,部分键长和键角见表2。dppa<sup>3-</sup>配体吡啶环上6-COO<sup>-</sup>的O3B、O4B以双齿顺-反(syn-anti)方式桥联Mn1和Mn2形成沿a轴方向上的一维链状结构,如图6a所示。苯环上5-COO<sup>-</sup>的O1、O2以顺-顺(syn-syn)方式桥联相邻的两条一维链形成二维层状结构(图6c),二维层状通过羧基的氢键(O7-H7-O5)作用进一步形成三维超分子结构(图6c)。

### 2.3 磁性

化合物1~3的变温磁化率是采用粉晶样品在

10000e场强下,2~300 K温度变化范围内测定的,其 $\chi_m T$ 对T曲线如图7~9所示。当T=300 K时,化合物1的 $\chi_m T$ 值为0.367 cm<sup>3</sup>·K·mol<sup>-1</sup>,与没有耦合作用的1个Cu(II)离子( $^2D_{5/2}, g=2$ )所对应的仅自旋值0.375 cm<sup>3</sup>·K·mol<sup>-1</sup>十分相近。温度在150~300 K之间,化合物1的 $\chi_m T$ 值几乎保持不变,随着温度继续下降, $\chi_m T$ 迅速上升到2 K时的0.826 cm<sup>3</sup>·K·mol<sup>-1</sup>。化合物1的 $\chi_m^{-1}$ 对T的曲线如图7所示,该曲线是一条直线,符合Curie-Weiss定律 $\chi_m^{-1}=(T-\theta)/C$ 。利用 $\chi_m^{-1}(T-\theta)/C$ 对实验数据进行最小平方拟合得出的直线(图7的实线),最佳拟合参数Weiss常数 $\theta=6.221$  K,Curie常数 $C=0.367$  cm<sup>3</sup>·K·mol<sup>-1</sup>。 $\chi_m T$ 值随T下降而上升的变化趋势和正的Weiss常数 $\theta$ 都表明化合物1存在铁磁耦合作用。由于在化合物1中存在

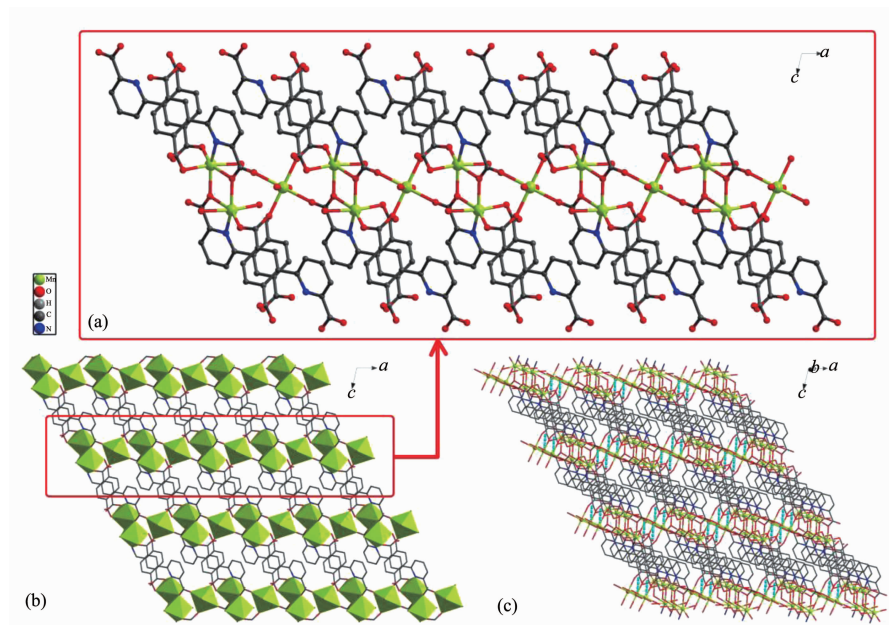
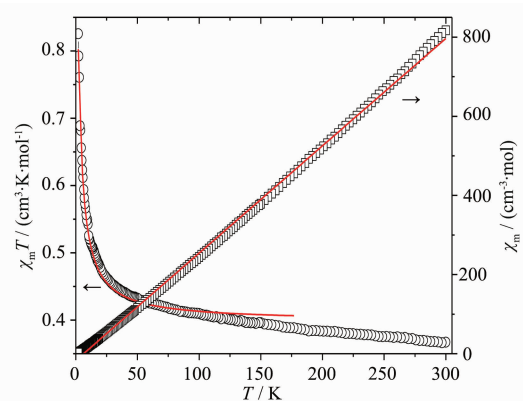


图6 化合物3的一维(a)、二维(b)和三维(c)结构

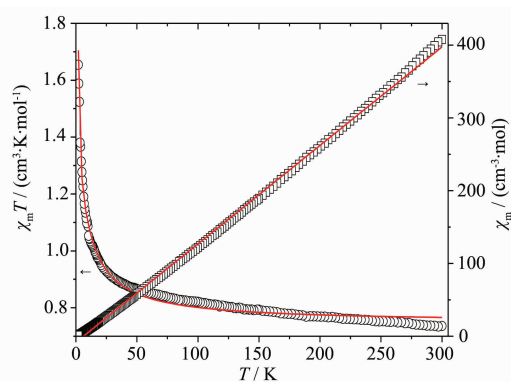
Fig.6 Views of 1D(a), 2D(b) and 3D(c) structure of the compound 3

图7 化合物1的 $\chi_m T$ 对T和 $\chi_m^{-1}$ 对T曲线Fig.7 Plots of  $\chi_m T$  vs  $T$  and  $\chi_m^{-1}$  vs  $T$  for 1

Cu-COO-Cu链,按各向同性的Heisenberg线性链磁交换模型<sup>[20]</sup>和引入分子场近似(为估算自旋中心间的磁相互作用),采用一个附加偶合参数 $zJ$ <sup>[21]</sup>,拟合的结果得到Cu-Cu之间的超交换磁耦合常数 $J$ 为 $4.44\text{ cm}^{-1}$ ,朗德因子 $g=2.01$ ,Cu-COO-Cu链间的耦合常数 $zJ$ 为 $-0.52\text{ cm}^{-1}$ ,一致性因子 $R=2.55\times 10^{-4}(R=\sum(\chi_{\text{obsd}}-\chi_{\text{calcd}})^2/\sum\chi_{\text{obsd}}^2)$ 。

对于化合物2,当 $T=300\text{ K}$ 时,2的 $\chi_m T$ 值为 $0.736\text{ cm}^3\cdot\text{K}\cdot\text{mol}^{-1}$ ,比没有耦合作用的2个Cu(II)离子( $D_{52}$ , $g=2$ )所对应的仅自旋值之和 $0.75\text{ cm}^3\cdot\text{K}\cdot\text{mol}^{-1}$ 略小。温度在 $20\sim 300\text{ K}$ 之间,化合物2的 $\chi_m T$ 值几乎保持不变,随着温度进一步下降, $\chi_m T$ 迅速上

升到2 K时的 $1.654\text{ cm}^3\cdot\text{K}\cdot\text{mol}^{-1}$ 。化合物2的 $\chi_m^{-1}$ 对 $T$ 曲线如图8所示,该曲线是一条直线,符合Curie-Weiss定律 $\chi_m^{-1}=(T-\theta)/C$ 。利用 $\chi_m^{-1}=(T-\theta)/C$ 对实验数据进行最小平方拟合得出的直线(图8的实线)。最佳拟合参数Weiss常数 $\theta=6.201\text{ K}$ ,Curie常数 $C=0.739\text{ cm}^3\cdot\text{K}\cdot\text{mol}^{-1}$ 。 $\chi_m T$ 值随 $T$ 下降而上升的变化趋势和正的Weiss常数 $\theta$ 都表明化合物2存在铁磁耦合作用。由于在化合物2中存在着双核Cu和Cu-COO-Cu链,采用各向同性的Heisenberg磁交换模型<sup>[22]</sup>和分子场近似<sup>[21]</sup>,得到双核Cu1-Cu2之间的超交换磁耦合常数 $J$ 为 $8.94\text{ cm}^{-1}$ ,Cu1-Cu1之间的耦合常数为 $0.45\text{ cm}^{-1}$ ,朗德因子 $g=1.99$ ,Cu-COO-Cu链之间的耦合常数 $zJ$ 为 $-0.24\text{ cm}^{-1}$ , $R=5.8\times 10^{-5}$ 。

图8 化合物2的 $\chi_m T$ 对T和 $\chi_m^{-1}$ 对T曲线Fig.8 Plots of  $\chi_m T$  vs  $T$  and  $\chi_m^{-1}$  vs  $T$  for 2

当  $T=300$  K 时, 化合物 3 的  $\chi_m T$  值为  $13.13 \text{ cm}^3 \cdot \text{K} \cdot \text{mol}^{-1}$ , 与没有耦合作用的 3 个 Mn(II) 离子 ( ${}^6\text{S}_{3/2}$ ,  $g=2$ ) 所对应的仅自旋值之和 ( $13.15 \text{ cm}^3 \cdot \text{K} \cdot \text{mol}^{-1}$ ) 十分相近。随着温度的下降, 化合物 3 的  $\chi_m T$  缓慢降到 2 K 时的  $6.66 \text{ cm}^3 \cdot \text{K} \cdot \text{mol}^{-1}$ 。化合物 3 的  $\chi_m^{-1}$  对  $T$  曲线如图 9 所示, 是符合 Curie-Weiss 定律  $\chi_m^{-1}=(T-\theta)/C$  的一条直线。利用  $\chi_m^{-1}=(T-\theta)/C$  对实验数据进行最小平方拟合得出的直线(图 9 的实线)。最佳拟合参数 Weiss 常数  $\theta=-5.86$  K, Curie 常数  $C=13.27 \text{ cm}^3 \cdot \text{K} \cdot \text{mol}^{-1}$ 。负的 Weiss 常数  $\theta$  表明化合物 3 存在反铁磁耦合作用。由于化合物 3 结构较为复杂, 没有找到合适的模型进行磁交换常数的拟合。

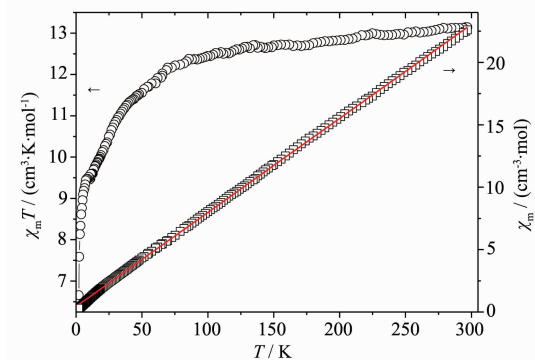


图 9 化合物 3 的  $\chi_m T$  对  $T$  和  $\chi_m^{-1}$  对  $T$  曲线

Fig.9 Plots of  $\chi_m T$  vs  $T$  and  $\chi_m^{-1}$  vs  $T$  for 3

### 3 结 论

本文报道了 3 个基于 3-(2,5-二羧基苯基)-吡啶羧酸配体的 Cu(II)、Mn(II) 配合物, 化合物 1 具有一维链状结构, 化合物 2 和 3 具有二维层状结构并进一步通过氢键形成三维超分子网络。磁性研究表明, 化合物 1 和化合物 2 中存在较强的铁磁耦合作用, 化合物 3 中 Mn(II) 离子之间存在反铁磁相互作用。

Supporting information is available at <http://www.wjhxzb.cn>

### 参考文献:

- [1] White K A, Chengelis D A, Gogick K A, et al. *J. Am. Chem. Soc.*, **2009**, *131*:18069-18071
- [2] Zhang Q J, Li B H, Chen L. *Inorg. Chem.*, **2013**, *52*:9356-9362
- [3] Shultz A M, Farha O K, Hupp J T, et al. *J. Am. Chem. Soc.*, **2009**, *131*:4204-4205
- [4] Alezi D, Belmabkhout Y, Suyetin M, et al. *J. Am. Chem. Soc.*, **2015**, *137*:13308-13318
- [5] Black C A, Costa J S, Fu W T, et al. *Inorg. Chem.*, **2009**, *48*:1062-1068
- [6] Cook T R, Zheng Y R, Stang P J. *Chem. Rev.*, **2013**, *113*:734-777
- [7] Crees R S, Cole M L, Hanton L R, et al. *Inorg. Chem.*, **2010**, *49*:1712-1719
- [8] He Y P, Tan Y X, Zhang J. *Cryst. Growth Des.*, **2013**, *13*:6-9
- [9] Pham T, Forrest K A, Hogan A, et al. *Cryst. Growth Des.*, **2015**, *15*:1460-1471
- [10] Hu Z C, Pramanik S, Tan K, et al. *Cryst. Growth Des.*, **2013**, *13*:4204-4207
- [11] You L X, Wang S J, Xiong G, et al. *Dalton Trans.*, **2014**, *43*:17385-17394
- [12] You L X, Li Z G, Ding F, et al. *Inorg. Chem. Commun.*, **2014**, *46*:340-343
- [13] YOU Li-Xin(由立新), WANG Shu-Ju(王淑菊), XIONG Gang(熊刚), et al. *Chinese J. Inorg. Chem.* (无机化学学报), **2015**, *31*:323-328
- [14] Massoud S S, Junk T, Herchel R, et al. *Inorg. Chem. Commun.*, **2015**, *60*:1-3
- [15] Liu B, Yu Y H, Jiang W H, et al. *Inorg. Chem. Commun.*, **2015**, *54*:12-15
- [16] Dai C, Zhou X Y, Jing X M, et al. *Inorg. Chem. Commun.*, **2015**, *52*:69-72
- [17] ZHANG Chun-Li(张春丽), QIN Ling(覃玲), YANG Qing-Xiang(杨清香), et al. *Chinese J. Inorg. Chem.* (无机化学学报), **2013**, *29*:2157-2161
- [18] YU Mei-Hui(于美慧), HU Ming(胡明), FENG Zhan-Yu(冯占宇), et al. *Chinese J. Inorg. Chem.* (无机化学学报), **2014**, *30*:1261-1266
- [19] Dolomanov O V, Bourhis L J, Gildea R J, et al. *J. Appl. Cryst.*, **2009**, *42*:339-341
- [20] Oshio H. *Chem. Lett.*, **1991**, *20*:227-230
- [21] Kou H Z, Zhou B C, Liao D Z, et al. *Inorg. Chem.*, **2002**, *41*:6887-6891
- [22] Dillon M, Cornado E, Belaiche M, et al. *J. Appl. Phys.*, **1988**, *63*:3551-3553